

九州大学応用力学研究所 正員 中村泰治  
 九州大学工学部 学生員 中島正道  
 九州大学応用力学研究所 渡辺公彦

1. はしがき

偏平構造断面柱の渦動振は、エッジトーンと、その渦動振にほかならぬことが風洞実験によつて先に明らかとなつた。<sup>1,2)</sup> 今回、水槽実験により流れの観察を試み、上記風洞実験の結論を別角度より確認するこゝがべきだとして報告する。

2. 実験装置

深さ×幅×長さ = 40cm × 40cm × 1,000cm の水槽に模型を鉛直にあし、曳航台車によつて移動させ ( $V = 4 \text{ cm s}^{-1}$ )、台車に固定したカメラで「静止ある」は振動する模型の断面まわりの流れを撮影した。模型は 1:5 H (幅員  $d = 4 \text{ cm}$ 、桁高  $H = 0.8 \text{ cm}$ ) および 1:2 H ( $d = 2 \text{ cm}$  または  $4 \text{ cm}$ ) の真鍮製 H 型断面柱で、厚さ 2 mm の床板と厚さ 1 mm の桁板よりなる。模型の長さは 11.5 もしくは 38 cm である。模型には曳航台車に設置した加振装置によつて振幅 1.5 mm の曲げ振動を与えることができる。その周期は必ずしも注意にかからず。流れの可視化は水素気泡法によつた。模型の変位は加振装置の板はねに張った歪ゲージによつて求められ、振動変位とカメラのシャッターパルスを同時にパン書きオシロト記録した。なお、桁高  $H$  を基準にした模型のレイノルズ数は約 240 または 600 であった。

3. 流れの観察結果

以下に示す図はすべて 1:5 H 模型に関するもので、1:2 H 模型の結果については省略する。図 1 は 1:5 H 模型の静止時の流れを示す。模型後方にカルマン渦の形成がみられるが、その周期は  $T_0 = 1.865 \text{ s}$  であり、ストローハル数  $S_t(d) = fd/V$  を求めると 0.55 と左の風洞実験とよく一致する。注目すべきことは、前縁で剥離した薄手層が模型後方でカルマン渦と 1:2 渦巻く前に、後縁直前の渦巻きに乗り越える (クリップする) ところである。すなわち、エッジトーンの形成がカルマン渦の形成に先行する。図 2 は模型直後に長さ  $4d$  のスプリッタ板を置いた例である。この場合、上下の薄手層は互に干渉しないのでカルマン渦はできず、エッジトーンは渦巻き後縁を周期的にクリップする現象とて強まる<sup>1,3)</sup>。なお、図 2 にみえるペターンは図 1 の場合ほど規則的ではなく、時々、規則性がくずれるなど注意しておこう。図 3 ～ 図 5 は、共振流速付近で、振動周期を  $T = 1.735, 1.865, 2.505 \text{ s}$  と次第に増した場合を示す。図はいずれも振動の下死点における流れをあらわす。振動柱体では、振動によつて生じた前縁剥離渦がよくみえる。この渦によつて柱体に振動揚力が発生するこゝは小林<sup>4)</sup>に示したとおりである<sup>3)</sup>。図 4 をみると、上面の前縁剥離渦が下度後縁をクリップした状態であるが、このとき同時に下面の後縁に 2 次渦を誘起する<sup>4)</sup>。このため下流では、上下の渦から小さな 1 対 1 キノ状のものとなる。このようなペターンは偏平構造断面柱に特有のものと思われる。また、あまり明瞭でないが、後縁の次渦は静止柱体(図 1)にもみられる。共振流速付近で周期を次第にまわし、前縁剥離渦の側面上位置がかかる方向を向む、物体の動揚力が大きくかわるのである。

図 6 は図 3 と同じ振動状況のもとに、スプリッタ板を挿入した時の流れを示す。図 3 と図 6 を比較して注目すべきことは、「体後方の流れが大きく異なるにもかかわらず、柱体面上の前縁剥離渦の位置は両者ほとんどかわらない」ということである。このことは(渦動振に関する)風洞実験結果と符号する。なお、図 6 には図 3 でみられた後縁の次渦がみられない。すなわち、後縁の次渦の渦動振に対する影響は小さいと考えてよい。図 7 と図 8 は、共振周期  $T_0 (= 1.865 \text{ s})$  の半分の周期で振動させた場合の流れを示す。物体周辺の流れは、この場合も、スプリッタ

板の有無によって変化しない。すなはち、図7で意味あることは、物体は  $\frac{1}{2}T_0$  を振動するにもかかわらず、その下流では振動の影響が直ちに消え、非振動時のカルマン渦の周期  $T_0$  に復帰することである。

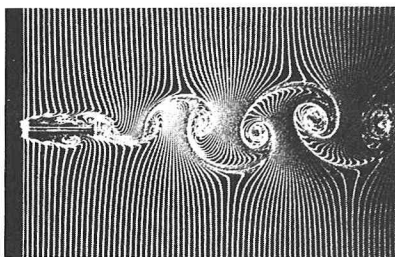


図1 1:5 H, 静止,  $T_0 = 1.86$  s

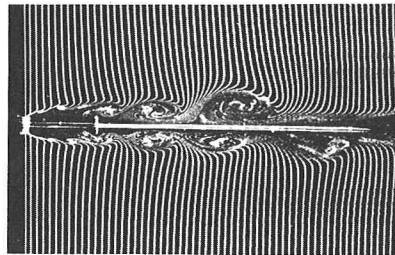


図2 1:5 H, 静止, スワリタ板,  
 $T_0 = 1.86$  s

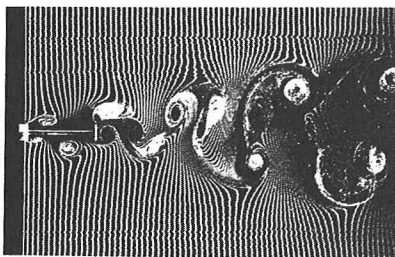


図3 1:5 H, 振動(下死点),  $T = 1.73$  s

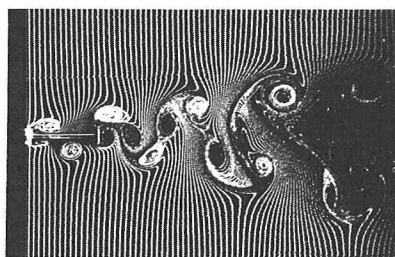


図4 1:5 H, 振動(下死点),  $T = 1.86$  s

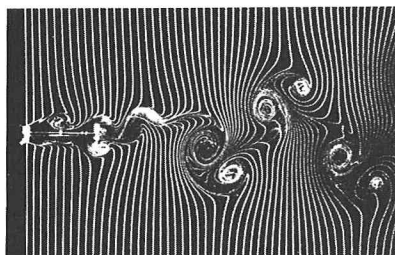


図5 1:5 H, 振動(下死点),  $T = 2.50$  s

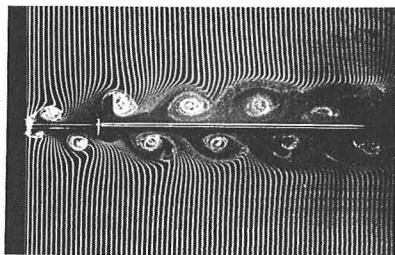


図6 1:5 H, 振動(下死点), スワリタ板,  
 $T = 1.73$  s

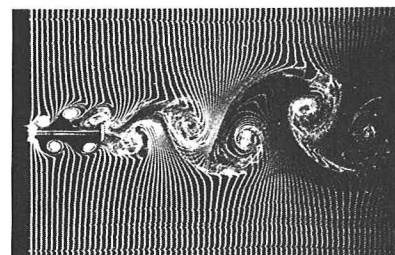


図7 1:5 H, 振動(下死点),  $T = 0.86$  s

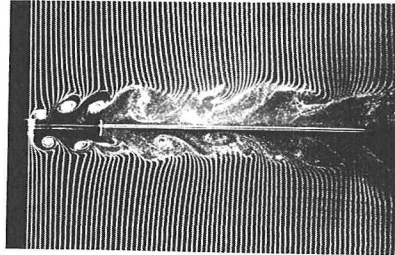


図8 1:5 H, 振動(下死点), スワリタ板,  
 $T = 0.86$  s

1) 中村, 中島, 渡辺; 九大応力研究所報 59-9, 1983 , 2) 中島, 中村, 渡辺; 本講演会前刷

3) S. Komatsu & H. Kobayashi; J. Ind. Aero. 6, No.3+4, 1980 , 4) 白石, 松本; 土木学会論文報告集, 322, 1982